

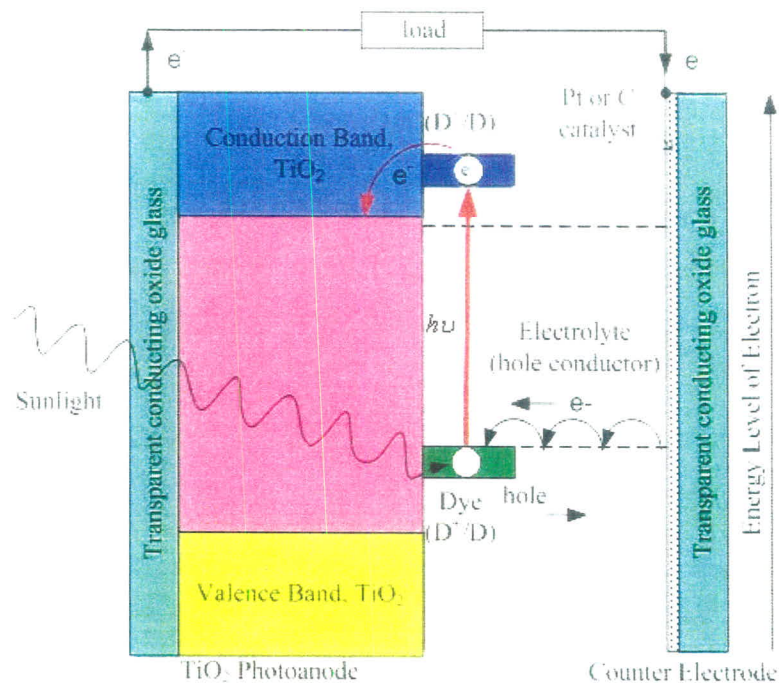
## บทที่ 2

### ทฤษฎีและงานวิจัยที่เกี่ยวข้อง

ในบทนี้จะกล่าวถึงทฤษฎีของเซลล์แสงอาทิตย์สีย้อมไวแสง โครงสร้างของเซลล์แสงอาทิตย์สีย้อมไวแสง การพัฒนาเซลล์แสงอาทิตย์สีย้อมไวแสง การพัฒนาสีย้อมไวแสง การพัฒนาระบบอิเล็กทรอนิกส์ การพัฒนาอนุภาคนาโนของสารกึ่งตัวนำโลหะออกไซด์ ข้อดีและข้อที่ต้องปรับปรุงของเซลล์แสงอาทิตย์สีย้อมไวแสง  $\text{TiO}_2$  การเตรียมฐานรองแก้ว การสังเคราะห์ฟิล์มบาง การทดสอบเซลล์แสงอาทิตย์สีย้อมไวแสง และงานวิจัยที่เกี่ยวข้อง

#### 2.1 ทฤษฎีของเซลล์แสงอาทิตย์สีย้อมไวแสง

นับตั้งแต่ B. O'regan และ M. Grätzel [17] ได้ค้นพบเซลล์แสงอาทิตย์สีย้อมไวแสงในปี ค.ศ. 1991 จากนั้นพัฒนาเซลล์แสงอาทิตย์สีย้อมไวแสง ได้ดำเนินการก้าวหน้าอย่างต่อเนื่องและรวดเร็ว การวิจัยได้มุ่งเน้นสู่ความเข้าใจต่อกลไกการทำงานของเซลล์ และพัฒนาการผลิตทางการค้าของเซลล์แสงอาทิตย์สีย้อมไวแสง เนื่องจากเซลล์แสงอาทิตย์สีย้อมไวแสง เป็นเซลล์แสงอาทิตย์ที่มีศักยภาพ เซลล์แสงอาทิตย์สีย้อมไวแสงผลิตด้วยวัสดุราคาต่ำ  $\text{TiO}_2$  ไม่เป็นพิษต่อสิ่งแวดล้อม เป็นพลังงานที่ยั่งยืนและผลิตง่ายโดยไม่ต้องใช้ห้อง clean room เซลล์แสงอาทิตย์สีย้อมไวแสงประกอบด้วย electrode 2 ส่วน คือ working electrode ที่ประกอบด้วย แผ่นแก้วตัวนำ (conducting glass) 1 แผ่น สำหรับเซลล์แสงอาทิตย์ 1 เซลล์ และมี  $\text{SnO}_2$  สังเคราะห์เป็นฟิล์มบางบนแผ่นแก้วตัวนำ และใช้ สีย้อม (dye)  $\text{TiO}_2$  ส่วนที่ 2 คือ counter electrode ที่ประกอบด้วย แผ่นแก้วตัวนำ (conducting glass) 1 แผ่น สำหรับเซลล์แสงอาทิตย์ 1 เซลล์ และมี  $\text{SnO}_2$  สังเคราะห์เป็นฟิล์มบาง บนแผ่นแก้วตัวนำ ซึ่งใช้ Pt/C catalyst เคลือบบนแผ่นแก้วตัวนำเพื่อสร้าง counter electrode และสาร electrolyte ที่เคลือบบน counter electrode จากนั้นต่อขั้วไฟฟ้าเข้ากับ working electrode และ counter electrode สำหรับการนำไฟฟ้าไปใช้งาน ดังภาพที่ 2.1 จวบจนปัจจุบันเซลล์แสงอาทิตย์สีย้อมไวแสง มีประสิทธิภาพในการเปลี่ยนพลังงานแสงอาทิตย์ไปเป็นพลังงานไฟฟ้าได้ประมาณ 10 % [18] อย่างไรก็ตาม เซลล์แสงอาทิตย์สีย้อมไวแสงส่วนใหญ่ใช้ liquid electrolyte [19] เสถียรภาพเซลล์มีเสถียรภาพน้อยเนื่องจากของเหลวอาจจะระเหยเป็นไอ



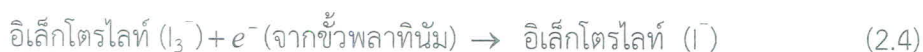
ภาพที่ 2.1 พลังงานและหลักการการทำงานของเซลล์แสงอาทิตย์สีย้อมไวแสง  $\text{TiO}_2$  โครงผลึกนาโน [19]

เมื่อเซลล์ไม่ถูกซีล (sealed) อย่างสมบูรณ์ การซึมผ่าน (permeation) ของโมเลกุลของออกซิเจนหรือน้ำ และการทำปฏิกิริยากับ electrolytes ทำให้การผลิตเป็น modules ยุ่งยาก ดังนั้นจึงมีความพยายามที่จะพัฒนา solid, quasi solid – state electrolyte หรือ quasi solid – state hole conductor เพื่อใช้แทน liquid electrolytes เซลล์แสงอาทิตย์สีย้อมไวแสง  $\text{TiO}_2$  โครงผลึกนาโน มีหลักการการทำงานเลียนแบบการสังเคราะห์แสงในพืช [20] ซึ่งอธิบายได้ดังนี้ เมื่อแสงตกกระทบเซลล์แสงอาทิตย์โมเลกุลสีย้อมไวแสงที่ทำหน้าที่ photosensitizer อิเล็กตรอนของโมเลกุลจะถูกทำให้ตื่นตัวและถูกฉีด (ejected) สู่แถบนำไฟฟ้า (conduction band) ของไททาเนียม ออกไซด์ อิเล็กตรอนเหล่านี้แพร่สู่แก้วตัวนำโปร่งแสงและไหลผ่านโพลีเมอร์สีย้อมได้รับอิเล็กตรอนจากอิเล็กโตรไลต์ ( $\text{I}^-$ ) สารอิเล็กโตรไลต์ ( $\text{I}_3^-$ ) แพร่เข้าสู่คาร์บอน (C) หรือ พลาทินัม (Pt) ของ counter electrode จากนั้นอิเล็กโตรไลต์ จะถูกรีดิวซ์สู่  $\text{I}^-$  (ได้รับอิเล็กตรอน) ในขณะที่โฮล (hole) จะเคลื่อนที่ตรงข้ามกับอิเล็กตรอนในอิเล็กโตรไลต์ จึงเรียกระบบอิเล็กโตรไลต์ว่าเป็น hole conductor ดังแสดงในภาพที่ 2.1 ขบวนการเกิดตลอดเวลาเมื่อมีแสงตกกระทบ [19] ปฏิกิริยาการเปลี่ยนพลังงานแสงเป็นพลังงานไฟฟ้า แสดงได้ดังสมการต่อไปนี้

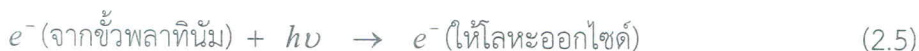
ปฏิกิริยาที่ขั้วแอโนด



ปฏิกิริยาที่ขั้วแคโทด

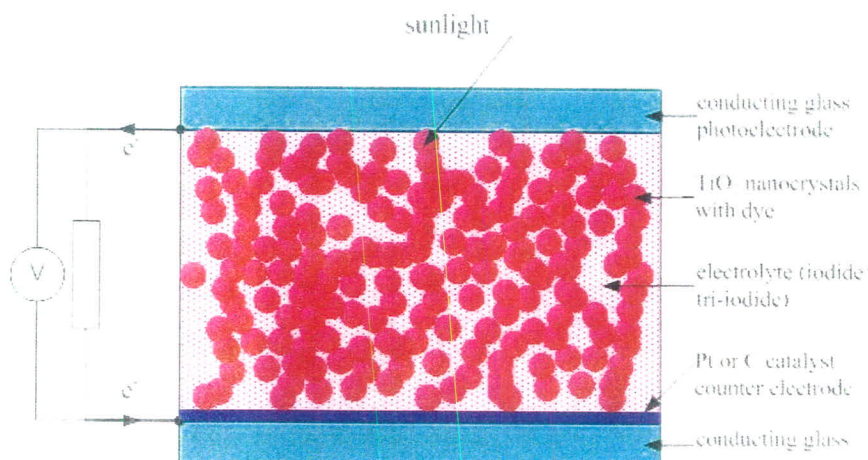


ปฏิกิริยารวม



## 2.2 โครงสร้างของเซลล์แสงอาทิตย์สีย้อมไวแสง

เซลล์แสงอาทิตย์สีย้อมไวแสงมีโครงสร้างที่สำคัญ คือ ขั้วไฟฟ้า สีย้อมไวแสง อนุภาคของ  $\text{TiO}_2$  โครงงผลึกนาโน และอิลีกโตรไลต์หรือตัวส่งผ่านประจุบวก ดังภาพที่ 2.2 โดยแต่ละส่วนมีหน้าที่และสมบัติที่สำคัญ ดังนี้ [21-22]



ภาพที่ 2.2 โครงสร้างของเซลล์แสงอาทิตย์  $\text{TiO}_2$  และอิลีกโตรไลต์ของเหลว [19]

### 2.2.1 สีย้อมไวแสง

ทำหน้าที่ดูดกลืนพลังงานแสงอาทิตย์ และส่งผ่านอิเล็กตรอนให้กับโลหะออกไซด์ ดังนั้นจะต้องมีสมบัติที่สำคัญ เช่น มีสเปกตรัมการดูดกลืนแสงกว้างในช่วงตามองเห็น 400 – 700 นาโนเมตร และใกล้อินฟราเรด เพื่อดูดกลืนแสงอาทิตย์ให้ได้มากที่สุด มีค่าสัมประสิทธิ์การดูดกลืนแสงสูง เพื่อเพิ่มประสิทธิภาพในการจับแสงโฟตอนที่มาตกกระทบ มีคุณสมบัติของสภาวะพื้นและสภาวะกระตุ้นที่เหมาะสม มีเสถียรภาพสูงในสภาวะถูกออกซิไดซ์ และสามารถยึดเกาะบนผิวอนุภาคโลหะออกไซด์ได้ดี มีราคาถูกและไม่เป็นพิษกับสิ่งแวดล้อม ซึ่งปกติแล้วมักใช้โมเลกุลของสารประกอบเชิงซ้อนของโลหะรูเทเนียม (Ru) กับลิแกนด์ในกลุ่มของโพลีไพรีดีน (polypyridine) เนื่องจากว่าสารดังกล่าวมีราคาแพง

### 2.2.2 ชั้นของอนุภาคของโลหะออกไซด์

ทำหน้าที่รับและส่งผ่านอิเล็กตรอน ต้องมีแถบช่องว่างพลังงานกว้าง (wide band gap semiconductor) (มากกว่า 3 eV) และมักถูกเตรียมให้อยู่ในรูปของฟิล์มบางที่มีลักษณะเป็นรูพรุนสูง (high porous) สำหรับการยึดเกาะของโมเลกุลสีย้อมไวแสง ทำให้สามารถดูดกลืนแสงได้เป็นอย่างดี เนื่องจากต้องการให้โมเลกุลของสีย้อมมีการดูดกลืนแสงให้ได้มากที่สุด สารกึ่งตัวนำที่ใช้ควรจะไม่ดูดกลืนแสงในช่วงที่ตามองเห็น ทำให้ต้องเลือกแถบช่องว่างพลังงานกว้าง และระดับพลังงานของขอบล่างของแถบการนำ (conduction band edge) ควรจะมีค่าน้อยกว่าค่าระดับพลังงานที่สถานะถูกกระตุ้นของโมเลกุลของสีย้อม เพื่อทำให้เกิดการส่งผ่านอิเล็กตรอน จากโมเลกุลของเม็ดสีมายังสารกึ่งตัวนำโลหะออกไซด์ สารกึ่งตัวนำโลหะออกไซด์ ได้แก่  $\text{TiO}_2$ ,  $\text{SnO}_2$ ,  $\text{ZnO}$ ,  $\text{Fe}_3\text{O}_4$ ,  $\text{NiO}$  และ  $\text{SiO}_2$  เป็นต้น

### 2.2.3 สารละลายอิเล็กโตรไลต์

สารละลายอิเล็กโตรไลต์หรือตัวส่งผ่านอิเล็กตรอน ทำหน้าที่ขจัดขุยอิเล็กตรอนให้กับโมเลกุลสีย้อมไวแสง หรือรับประจุบวกจากขั้วไฟฟ้าแคโทด สารละลายอิเล็กโตรไลต์จะอาศัยกระบวนการเกิดปฏิกิริยารีดักชัน (reduction) และปฏิกิริยาออกซิเดชัน (oxidation) หรือที่เรียกว่าปฏิกิริยารีดอกซ์ (redox reaction) ซึ่งคุณสมบัติของสารละลายอิเล็กโตรไลต์ที่ดีมีดังนี้ ไม่ดูดกลืนแสงในช่วงตามองเห็น มีความสามารถในการเกิดปฏิกิริยารีดักชัน - ออกซิเดชันได้ง่าย เพื่อขจัดขุยอิเล็กตรอนให้แก่เม็ดสีย้อมที่อยู่ในรูปตัวออกซิไดซ์ได้อย่างรวดเร็ว มีอายุการใช้งานยาวนานไม่ก่อให้เกิดสารประกอบตัวใหม่ที่ไม่ต้องการเกิดขึ้นภายในเซลล์ สารละลายอิเล็กโตรไลต์ที่นิยมใช้ในการประดิษฐ์เซลล์แสงอาทิตย์สีย้อมไวแสง คือ สารละลายอิเล็กโตรไลต์ในระบบที่ได้จากการแตกตัวของสารไอโอดีน ( $\text{I}_2$ ) โดยจะมีประสิทธิภาพในการให้อิเล็กตรอนกับเม็ดสีย้อมที่อยู่ในรูปของตัวออกซิไดซ์ที่สถานะพื้นได้เป็นอย่างดี

## 2.2.4 ขั้วไฟฟ้าโปร่งแสง

ประกอบด้วยขั้วไฟฟ้าแอโนด ทำหน้าที่ส่งผ่านอิเล็กตรอน (electron transfer) ไปสู่วงจรรภายนอก นิยมใช้ fluoride doped tin oxide (FTO) และขั้วไฟฟ้าแคโทดหรือเคาน์เตอร์อิเล็กโทรด ทำหน้าที่ให้อิเล็กตรอนกลับคืนสู่สารประกอบอิเล็กโทรไลต์ ต้องนำไฟฟ้าที่ดี มีความเป็นรูพรุนสูง เพื่อเพิ่มพื้นที่ผิวในการเกิดปฏิกิริยา จะต้องเป็นตัวเร่งปฏิกิริยาที่ดีด้วย และมีค่าศักย์ไฟฟ้าเกินตัวสำหรับการเกิดปฏิกิริยารีดักชันของอิเล็กโทรไลต์ต่ำ นิยมใช้โลหะแพลทินัม (Pt) แต่เนื่องจากโลหะแพลทินัมมีราคาแพงอาจจะใช้วัสดุอื่นแทน เช่น ผงคาร์บอน ท่อคาร์บอนนาโนหรือแกรไฟต์

## 2.3 การพัฒนาเซลล์แสงอาทิตย์สีย้อมไวแสง

สำหรับแนวทางการพัฒนาเซลล์แสงอาทิตย์สีย้อมไวแสง ให้มีประสิทธิภาพโดยรวมสูงขึ้น อาจสรุปได้ 3 แนวทาง [23] ดังนี้

### 2.3.1 การพัฒนาสีย้อมไวแสง

การพัฒนาสีย้อมไวแสง สามารถแบ่งเป็น 3 แนวทางหลัก คือ ก) หาสีย้อมไวแสงชนิดใหม่ ที่มีความสามารถในการดูดกลืนแสงในช่วงกว้าง ตั้งแต่ช่วงแสงตาเห็นจนถึงแสงใกล้อินฟราเรด เพื่อเพิ่มจำนวนอิเล็กตรอนในสภาวะรั่วให้มากที่สุด ข) เพิ่มความสามารถในการยึดเกาะของสีย้อมไวแสงกับพื้นผิวของโลหะออกไซด์ เพื่อเพิ่มปริมาณสีย้อมไวแสงให้เกาะกับโลหะออกไซด์ ในปริมาณมาก และ ค) เพิ่มประสิทธิภาพในการถ่ายเทอิเล็กตรอนระหว่างสีย้อมกับโลหะออกไซด์ เพื่อให้ไม่มีการสูญเสียอิเล็กตรอนระหว่างการถ่ายเทอิเล็กตรอน จากแนวทางดังกล่าวสามารถจำแนกสีย้อมไวแสงออกเป็น 3 กลุ่มหลัก คือ

2.3.1.1 กลุ่มสีย้อมไวแสงจำพวก สารประกอบเชิงซ้อนของโลหะรูเทเนียมกับ ลิแกนด์ โพลีไพริดีน สีย้อมกลุ่มไวแสงกลุ่มนี้ได้รับความสนใจและศึกษาพัฒนามาอย่างกว้างขวาง เนื่องจาก รูเทเนียมเป็นโลหะมีความต่างศักย์รีดอกซ์สูง เหมาะสมสำหรับการกระตุ้นและส่งผ่านอิเล็กตรอนไปยังอนุภาคนาโน ของสารกึ่งตัวนำโลหะออกไซด์ออกไซด์ได้ดี Grätzel และคณะ เป็นกลุ่มวิจัยแรกที่ประสบความสำเร็จอย่างมากในการพัฒนาสีย้อมไวแสงประเภทนี้ โดยสังเคราะห์สารประกอบเชิงซ้อนของ โลหะรูเทเนียมกับลิแกนด์โพลีไพริดีนหรือ อนุพันธ์ของโพลีไพริดีน โดยลิแกนด์โพลีไพริดีนจะมีหมู่ฟังก์ชันคาร์บอกซิล (-COOH) เป็นส่วนประกอบของโมเลกุลและมีความสามารถดูดซับบนพื้นผิวของโลหะออกไซด์ได้ดี ตัวอย่างสีย้อมไวแสงกลุ่มนี้ ได้แก่ N3 dye และ N719 dye พบว่าเซลล์แสงอาทิตย์ที่ใช้สีย้อมไวแสงกลุ่มนี้พบว่าให้ประสิทธิภาพรวมสูงถึง 10.4 % มีค่าใกล้เคียงกับเซลล์แสงอาทิตย์แบบรอยต่อพีเอ็นของสารกึ่งตัวนำ นอกจากนี้ได้มีการพัฒนา

สารประกอบเชิงซ้อนของโลหะรูเทเนียมกับลิแกนด์โพลีไพริดีน โดยสังเคราะห์สารประกอบเชิงซ้อน โมเลกุลและที่มีหมู่ลิแกนด์ไพโรโรล และไฮโอฟินเพิ่มขึ้นมา แม้ว่าการใช้สารประกอบเชิงซ้อนกลุ่มโลหะ รูเทเนียมกับลิแกนด์โพลีไพริดีนจะให้ประสิทธิภาพพววมสูง แต่ยังมีข้อจำกัดหลายประการ เช่น มีช่วง การดูดกลืนคลื่นแสงอาทิตย์ที่แคบ การสังเคราะห์และทำให้บริสุทธิ์ยาก และยังมีราคาแพง จึงมี การศึกษาและทดลองใช้สีย้อมไวแสงชนิดอื่น ๆ แทน

2.3.1.2 กลุ่มสีย้อมไวแสงสารอินทรีย์ เป็นการนำสารอินทรีย์ที่มีอยู่ในธรรมชาติ หรืออาจจะสังเคราะห์ขึ้นมาใช้เป็นสีย้อมไวแสงส่วนใหญ่เป็นโมเลกุลที่มีพันธะคู่สลับกับพันธะเดี่ยวต่อกันยาว และมีหมู่ฟังก์ชันที่มีความเป็นขั้วสูง ตัวอย่างสีย้อมไวแสงสารอินทรีย์ เช่น โมเลกุล เป็นอนุพันธ์ของเคมาริน (coumarin) พบว่าให้ประสิทธิภาพพววมประมาณ 7.7% นอกจากนี้ยังมีอีกกลุ่มหนึ่งที่น่าสนใจคือ สารกลุ่มเพอริลีน (perylene dye) พบว่าให้ประสิทธิภาพพววมใกล้เคียงกันกับอนุพันธ์ของเคมาริน แม้ว่าสีย้อมไวแสงสารอินทรีย์ให้ประสิทธิภาพพววมต่ำกว่ากลุ่มสารประกอบเชิงซ้อนของโลหะรูเทเนียม แต่ยังคงได้รับความสนใจและศึกษาพัฒนาอย่างต่อเนื่อง เพราะมีราคาถูก สังเคราะห์ได้ง่าย และมีความเป็นพิษต่ำ

2.3.1.3 กลุ่มสีย้อมไวแสงพอร์ไฟริน สีย้อมชนิดนี้พัฒนามาจากโมเลกุลของคลอโรฟิลล์ ซึ่งเป็นโครโมฟอร์ที่สำคัญในกระบวนการสังเคราะห์แสงของพืช โดยในปี ค.ศ. 1993 Grätzel [24] ได้สังเคราะห์อนุพันธ์พอร์ไฟรินเพื่อทดสอบประสิทธิภาพของการดูดกลืนแสงบนตัวดูดซับไททาเนียมไดออกไซด์ พบว่าสีย้อมไวแสง Cu-MP ให้ประสิทธิภาพพววมเท่ากับ 2.6 % ในปี ค. ศ. 1996 Boschloo และ Goossens [25] ได้สังเคราะห์พอร์ไฟริน Zn-TCPP พบว่าให้ประสิทธิภาพพววมประมาณ 1.1% ต่อมาในปี ค. ศ. 2000 Cherian และ Wamser [26] ใช้ TCPP ซึ่งเป็นอนุพันธ์ของ Zn-TCPP แต่ปราศจากโลหะ Zn เป็นโมเลกุลสีย้อมไวแสง พบว่าให้ประสิทธิภาพพววมเพิ่มเป็น 3.5% และในปี 2004 [27] สังเคราะห์พอร์ไฟริน meso-linkes สาร Zn-1a, Zn-1b และ Zn-1c พบว่าให้ประสิทธิภาพพววมของ Zn-1b สูงถึง 4.2 % แม้ว่าประสิทธิภาพพววมของสีย้อมกลุ่มพอร์ไฟรินจะมีค่าต่ำกว่าของสีย้อมกลุ่มสารประกอบเชิงซ้อนของโลหะรูเทเนียมมากแต่การสังเคราะห์สีย้อมไวแสงพอร์ไฟริน สามารถปรับเปลี่ยนหมู่ฟังก์ชันภายในโมเลกุลได้ง่าย และมีแนวโน้มในการเพิ่มประสิทธิภาพไปในทางที่ดีขึ้น ทำให้ในปัจจุบันสีย้อมไวแสงพอร์ไฟรินยังคงได้รับความสนใจศึกษาอยู่อย่างต่อเนื่อง

### 2.3.2 การพัฒนาระบบอิเล็กโทรไลต์

ระบบอิเล็กโทรไลต์เป็นส่วนสำคัญที่ต้องได้รับการพัฒนาเช่นกัน เพื่อให้เซลล์แสงอาทิตย์ชนิดสีย้อมไวแสงให้ประสิทธิภาพสูงสำหรับผลิตในเชิงการค้า ในระยะเริ่มแรก ระบบอิเล็กโทรไลต์เป็นระบบที่เตรียมได้ง่าย ไม่ยุ่งยาก คือ อิเล็กโทรไลต์ของเหลว มีส่วนประกอบของ คู่ปฏิกิริยารีดอกซ์ของไอโอดีน/ไตรไอโอดีน ( $I^- / I_3^-$ ) ที่ละลายอยู่ในตัวทำละลายอินทรีย์ เช่น อะซิโตน ไนโตร โพรพิโอนไนโตร เมทริกซ์อะซิโตนไนโตร โพรพิลีนคาร์บอนเนต เป็นต้น ในปัจจุบันอิเล็กโทรไลต์ชนิดนี้ สามารถให้ประสิทธิภาพรวมของเซลล์สูงกว่า 10 % ทั้งนี้เนื่องจากมีประสิทธิภาพในการขนส่งของไอออนที่รวดเร็ว แต่มีข้อเสียคือตัวทำละลายที่ใช้ระเหยง่าย จึงทำให้เกิดปัญหาการหายไปหรือรั่วซึมของสารละลายออกจากตัวเซลล์แสงอาทิตย์ ส่งผลให้ประสิทธิภาพรวม อายุการใช้งานและความคงทนของเซลล์แสงอาทิตย์ชนิดสีย้อมไวแสงลดลง ซึ่งถือว่าเป็นปัญหาที่สำคัญสำหรับเซลล์ที่ใช้ระบบอิเล็กโทรไลต์ของเหลว และต้องได้รับการแก้ไขให้แล้วเสร็จก่อนที่จะผลิตต้นเซลล์แสงอาทิตย์ชนิดสีย้อมไวแสงออกสู่การผลิตในเชิงพาณิชย์ต่อไป จากปัญหาดังกล่าวนำไปสู่ระบบอิเล็กโทรไลต์ของเหลวไอออนิก ที่มีจุดเดือดสูงขึ้น มีการนำไฟฟ้าที่ดี มีความเสถียรภาพต่อสารเคมีและความร้อนที่ดี และไม่ติดไฟ ระบบอิเล็กโทรไลต์ของเหลวไอออนิกที่นิยมใช้คือสารประกอบของ imidazolium แม้ว่าระบบอิเล็กโทรไลต์นี้จะสามารถแก้ไขปัญหการระเหยได้ แต่ยังมีปัญหาการรั่วซึมอยู่ และให้กระแสไฟฟ้าลัดวงจรต่ำกว่าระบบอิเล็กโทรไลต์ของเหลว เพราะมีความหนืดสูง ทำให้ไอออนไอโอดีนแพร่ตัวได้ช้า ส่งผลให้ประสิทธิภาพของเซลล์ที่ได้ยังไม่สูงมากนัก (2 - 4 %) ต่อมาได้มีรายงานวาระบบอิเล็กโทรไลต์ 1-methyl-3-propylimidazolium iodide, 1-methyl-3-ethylimidazolium dicyanamide และ lithium iodide สามารถให้ประสิทธิภาพรวมสูงขึ้นเป็น 6.6 % เมื่อนำไปประกอบรวมกับเซลล์ที่ใช้สีย้อมไวแสงกลุ่มสารประกอบเชิงซ้อนโลหะรูเทเนียม การเติม lithium iodide สามารถเพิ่มประสิทธิภาพรวมอย่างมีนัยสำคัญ เนื่องจาก การเพิ่มขึ้นของ electron injection yield และ dye regeneration rate ทำให้ค่าการนำไฟฟ้าของ อิเล็กโทรไลต์เพิ่มขึ้น ถึงแม้ว่าระบบอิเล็กโทรไลต์ของเหลวที่ไม่ระเหยส่วนใหญ่จะใช้ไอโอดีน แต่ประสิทธิภาพรวมที่ได้ก็ยังไม่สูงมากนัก ทำให้ยังมีการพัฒนาระบบอิเล็กโทรไลต์อย่างต่อเนื่อง เช่น ระบบอิเล็กโทรไลต์ที่ปราศจากตัวทำละลายของคู่ปฏิกิริยารีดอกซ์  $SeCN^- / (SeCN)^3$  ซึ่งมีความหนืดที่ต่ำกว่าระบบอิเล็กโทรไลต์ที่ใช้ imidazolium iodide มาก (ประมาณ 45 เท่า) สามารถให้ประสิทธิภาพรวมของเซลล์สูงมากถึง 7.5-8.3 % ภายใต้แสงอาทิตย์จำลอง ความเข้มแสง AM 1.5 ระบบอิเล็กโทรไลต์อีกระบบที่ได้รับการพัฒนาขึ้นมา คือ โพลีเมอร์อิเล็กโทรไลต์ มีจุดเด่นสำคัญในเรื่องการนำพาไอออนที่สูงกว่าของไหล และสามารถแข็งตัวได้ง่าย โดยโพลีเมอร์อิเล็กโทรไลต์มีลักษณะเป็นเจล ที่มีโครงสร้างแบบโครงร่างแหสามมิติ เพื่อเพิ่มผิวสัมผัสระหว่างอิเล็กโทรไลต์แบบแข็งและชั้นรูพรุนระดับนาโนของอนุภาคนาโนโลหะออกไซด์

นอกจากนี้สามารถขึ้นรูปได้ง่าย และไม่มีขั้นตอนซับซ้อน ในปัจจุบันนิยมใช้ poly(ethyleneglycol) (PEG) และ poly(ethylene oxide) (PEO) เป็นโพลิเมอร์อิเล็กโทรไลต์ และพบว่า การใช้ประโยชน์โพลิเมอร์ร่างแหแบบเจลของ PEO segments ในการทำโคโพลิเมอร์อิเล็กโทรไลต์ สามารถให้ประสิทธิภาพเซลล์สูงสุดเท่ากับ 8.1 % ภายใต้แสงอาทิตย์จำลอง ความเข้มแสง AM 1.5 และยังสามารถเพิ่มประสิทธิภาพของเซลล์ โดยการเพิ่มความหนาของชั้นอนุภาคนาโนโลหะออกไซด์ การปรับปรุงสัดส่วน ความหนืด และค่าคงที่ ไดอิเล็กตริกของตัวทำละลาย และสามารถเติม oligomers หรือ plasticizers อัดแน่นเข้าไปใน อิเล็กโทรไลต์โพลิเมอร์ เพื่อเพิ่มการนำพาไอออน และเพิ่มพื้นที่ผิวสัมผัสระหว่างอนุภาคสีย้อม ไวแสงกับโพลิเมอร์อิเล็กโทรไลต์ นอกจากนี้มีการพัฒนาอิเล็กโทรไลต์เจลแบบนาโนคอมพอสิต พบว่าสามารถให้ประสิทธิภาพสูงถึง 7 % นอกจากนี้ระบบอิเล็กโทรไลต์ที่กล่าวมาข้างต้น ยังมีระบบ อิเล็กโทรไลต์อีกระบบที่น่าสนใจ คือ ระบบอิเล็กโทรไลต์ฟิล์มบาง (thin-film solid-electrolytes) หรือตัวส่งผ่านประจุบวก (hole conductors) โดยจะเป็นสารอินทรีย์ที่มีสมบัติเป็นตัวส่งผ่านประจุบวก เช่น โมเลกุลคาร์บาโซล (carbazole) อิเล็กโทรไลต์ระบบนี้ จะไม่มีปัญหาการรั่วซึมหรือการระเหยของอิเล็กโทรไลต์ และมีอายุการใช้งานนาน จากที่กล่าวมาข้างต้น ระบบอิเล็กโทรไลต์ ยังคงต้องได้รับการพัฒนาต่อไปอย่างต่อเนื่อง เพื่อเพิ่มประสิทธิภาพรวมของเซลล์แสงอาทิตย์สีย้อม ไวแสงให้สูงขึ้น ตัวอย่างประสิทธิภาพรวมอิเล็กโทรไลต์ของเซลล์แสงอาทิตย์ชนิดสีย้อมไวแสงที่ใช้อนุภาคนาโนของสารกึ่งตัวนำชนิดต่าง ๆ ดังสรุป ในตารางที่ 2.1

ตารางที่ 2.1 ประสิทธิภาพรวมอิเล็กโทรไลต์ของเซลล์แสงอาทิตย์ชนิดสีย้อมไวแสง

สารกึ่งตัวนำ	อิเล็กโทรไลต์	$\eta_{global}$ (%)	ความเข้มแสง (mW/cm <sup>2</sup> )	เอกสารอ้างอิง (Ref)
TiO <sub>2</sub>	P(VDF-HFP)	8.35	100 (AM 1.5)	[28]
TiO <sub>2</sub>	P(MMA-co-MAA)/PEG	4.85	100 (AM 1.5)	[29]
TiO <sub>2</sub>	PEO	0.77	100 (AM 1.5)	[30]
TiO <sub>2</sub>	PVD-HFP	>6	100(AM 1.5)	[31]
TiO <sub>2</sub>	EC+PC	4.79	100(AM 1.5)	[32]
	BL+EC	4.96	100(AM 1.5)	
	BL+PC	4.41	100(AM 1.5)	

### 2.3.3 การพัฒนาอนุภาคนาโนของสารกึ่งตัวนำโลหะออกไซด์

เพื่อให้ประสิทธิภาพของเซลล์แสงอาทิตย์ชนิดสีย้อมไวแสงสูงสุดชั้นอนุภาคนาโนของสารกึ่งตัวนำโลหะออกไซด์ จะต้องมีความเสถียรภาพสูง มีพลังงานแถบช่องว่าง ( $E_g$ ) ที่กว้าง มีพื้นที่ผิวมากเพื่อให้โมเลกุลสีย้อมยึดเกาะได้ในปริมาณมาก มีการกระจายตัวของรูพรุนสม่ำเสมอเพื่อการแพร่ผ่านของไอออนอิเล็กโทรไลต์ได้ดี และแต่ละอนุภาคจะต้องเชื่อมติดกันอย่างต่อเนื่อง เพื่อให้อิเล็กตรอนสามารถแพร่ผ่านได้ดี อนุภาคนาโนของสารกึ่งตัวนำที่กลุ่มของ Grätzel [25] เลือกใช้ในการเตรียมเซลล์แสงอาทิตย์ชนิดสีย้อมไวแสงครั้งแรก คือ อนุภาคผลึกนาโนไททาเนียมไดออกไซด์ เป็นสารกึ่งตัวนำที่มีพลังงานแถบช่องว่างกว้าง ประมาณ 3.2 eV มีความเสถียรภาพสูง ในการพัฒนาประสิทธิภาพของเซลล์แสงอาทิตย์ชนิดสีย้อมไวแสง จึงได้มีความพยายามที่จะเปลี่ยนอนุภาคนาโนไททาเนียมไดออกไซด์เป็นอนุภาคนาโนของสารกึ่งตัวนำที่มีพลังงานแถบช่องว่างชนิดอื่น ๆ แทน เช่น ทินออกไซด์ ( $\text{SnO}_2$ ) ซิงค์ออกไซด์ ( $\text{ZnO}$ ) ไนโอเบียมออกไซด์ ( $\text{Nb}_2\text{O}_5$ ) และสตรอนเชียมไททาเนต ( $\text{SrTiO}_3$ ) เป็นต้น นอกจากนี้ยังมีการใช้สารกึ่งตัวนำผสมระหว่าง ทินออกไซด์กับซิงค์ออกไซด์ พบว่าเซลล์แสงอาทิตย์ชนิดสีย้อมไวแสงที่มีสีย้อมชนิด N3 ให้ประสิทธิภาพรวม เท่ากับ 8 % ที่ความเข้มแสง  $90 \text{ mW/cm}^2$  ในปัจจุบันอนุภาคนาโนไททาเนียมไดออกไซด์ ยังคงเป็นสารกึ่งตัวนำ ที่ทำให้เซลล์แสงอาทิตย์ชนิดสีย้อมไวแสงมีประสิทธิภาพรวมสูงสุด นอกจากการเปลี่ยนชนิดของสารกึ่งตัวนำ แล้วแนวทางหนึ่งสำหรับการเพิ่มประสิทธิภาพของเซลล์แสงอาทิตย์ ชนิดสีย้อมไวแสง คือ การปรับเปลี่ยนโครงสร้างจุลภาคของสารกึ่งตัวนำ ทั้งเพื่อเป็นการเพิ่มพื้นที่ผิวเพื่อให้ปริมาณโมเลกุลสีย้อมไวแสงสามารถยึดเกาะได้มากขึ้น ทำให้มีการกระจายตัวของช่องว่างระหว่างอนุภาคอย่างสม่ำเสมอ และเพิ่มระยะทางการแพร่ของอิเล็กตรอนให้มากขึ้น เพื่อลดการเกิดการรีคอมไบเนชันของประจุ โดยในปี ค.ศ. 2005 Law และคณะ [33] พบว่าเซลล์แสงอาทิตย์ชนิดสีย้อมไวแสง ที่ใช้สีย้อมไวแสง N719 ดูดซับบนเส้นลวด นาโนซิงค์ออกไซด์มีประสิทธิภาพรวมใกล้เคียงกับเซลล์แสงอาทิตย์สีย้อมไวแสง ที่ใช้อนุภาคนาโนไททาเนียมไดออกไซด์ ทั้งนี้เนื่องจาก ลวดนาโนช่วยให้ส่งผ่านอิเล็กตรอนไปยังขั้วไฟฟ้าได้มากขึ้น และลวด นาโนมีพื้นที่ผิวสูง และในปี ค.ศ. 2006 Baxter และ Aydil [34] สร้างเซลล์แสงอาทิตย์ชนิดสีย้อมไวแสงที่ใช้สีย้อมไวแสง N719 ดูดซับบนลวดนาโนซิงค์ออกไซด์ พบว่ามีแรงดันไฟฟ้าวงจรเปิด 0.7 – 0.8 V กระแสไฟฟ้าลัดวงจร  $3 \text{ mA/cm}^2$  และมีประสิทธิภาพรวม 1.1 % ลวดนาโนซิงค์ออกไซด์ได้รับความสนใจศึกษา เนื่องจากซิงค์ออกไซด์มีค่าพลังงานแถบช่องว่างใกล้เคียงกับไททาเนียมไดออกไซด์ และมีกระบวนการเตรียมให้อยู่ในรูปของลวดนาโนง่ายกว่า

## 2.4 ข้อดีและข้อที่ต้องปรับปรุงของเซลล์แสงอาทิตย์ $\text{TiO}_2$

### 2.4.1 ข้อดีของเซลล์แสงอาทิตย์สีย้อมไวแสง $\text{TiO}_2$ โครงผลึกนาโน

เซลล์แสงอาทิตย์สีย้อมไวแสง  $\text{TiO}_2$  โครงผลึกนาโน มีประสิทธิภาพการผันพลังงานแสงอาทิตย์เป็นพลังงานไฟฟ้าได้สูงถึง 11.18 % [35] ซึ่งมีประสิทธิภาพเทียบเท่ากับเซลล์แสงอาทิตย์แบบดั้งเดิมที่ผลิตจาก amorphous (Si) กระบวนการผลิตเซลล์แสงอาทิตย์สีย้อมไวแสง  $\text{TiO}_2$  โครงผลึกนาโน เมื่อเปรียบเทียบกับเซลล์แสงอาทิตย์แบบดั้งเดิม พบว่าผลิตได้ง่ายไม่จำเป็นต้องใช้ clean room เหมือน Si-based วัสดุที่ใช้ผลิตมีมาก ราคาถูก และใช้น้อยมาก ทั้งสีย้อมไวแสง (dye) และ  $\text{TiO}_2$  เนื่องจากเซลล์แสงอาทิตย์ชนิดนี้เป็นแบบฟิล์มบาง ทำให้ต้นทุนการผลิตต่ำและสามารถผลิตเซลล์แสงอาทิตย์เป็นสีต่าง ๆ ตามชนิดของสีย้อมไวแสง สามารถใช้เซลล์แสงอาทิตย์ประดับอาคารได้ เป็นเซลล์แสงอาทิตย์ที่ปลอดภัยต่อสิ่งแวดล้อมทั้งกระบวนการผลิต เนื่องจากไม่มีการโตะป และการใช้งาน ไม่มีการใช้เชื้อเพลิงที่เกิดมลพิษต่อสิ่งแวดล้อม เช่น น้ำมัน ถ่านหินหรือก๊าซธรรมชาติ เป็นต้น เมื่อเซลล์หมดอายุการใช้งานสามารถนำมาใช้ได้อีก โดยการล้าง electrode ด้วยสารละลาย alkali แล้วนำแผ่นแก้ว electrode ไปใช้ในการผลิตเซลล์แสงอาทิตย์ใหม่ได้อีก

### 2.4.2 ข้อที่ต้อการปรับปรุงของเซลล์แสงอาทิตย์สีย้อมไวแสง $\text{TiO}_2$

ประสิทธิภาพของเซลล์แสงอาทิตย์สีย้อมไวแสง  $\text{TiO}_2$  โครงสร้างนาโน เมื่อเปรียบเทียบกับเซลล์แสงอาทิตย์แบบดั้งเดิมที่ผลิตจาก GaAs พบว่าเซลล์แสงอาทิตย์สีย้อมไวแสง  $\text{TiO}_2$  โครงผลึกนาโนมีประสิทธิภาพต่ำกว่า และเสถียรภาพของเซลล์แสงอาทิตย์สีย้อมไวแสงจะขึ้นอยู่กับชนิดของสาร electrolyte คือ เซลล์สีย้อมไวแสงที่ใช้ liquid electrolyte จะมีเสถียรภาพต่ำกว่าเซลล์สีย้อมไวแสงที่ใช้ solid-state electrolyte หรือ quasi solid-state electrolyte (polymer electrolyte)

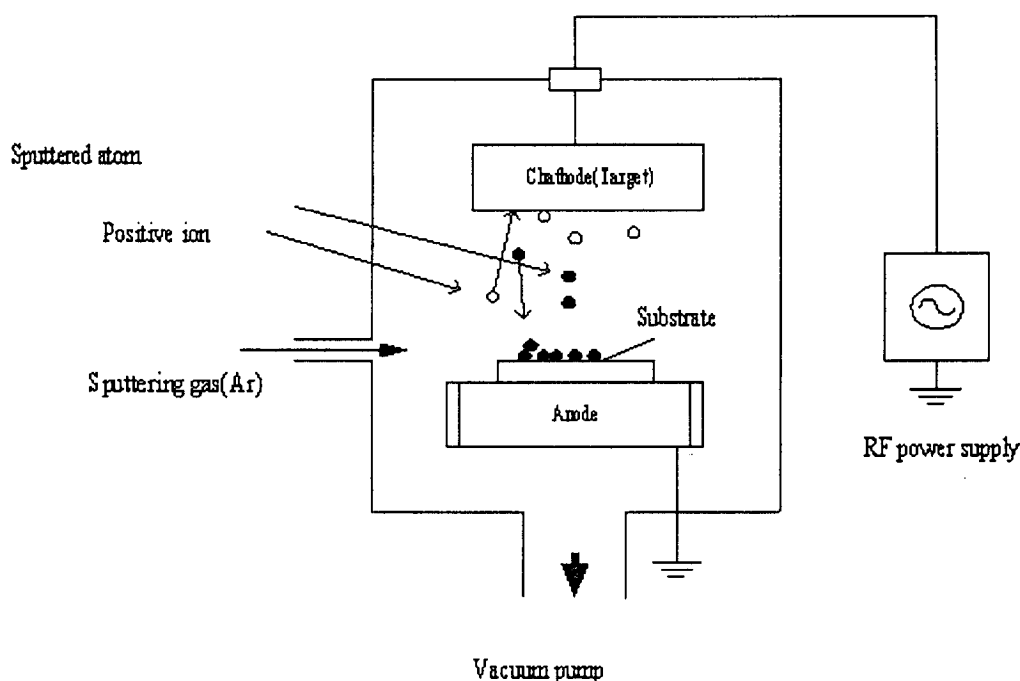
## 2.5 การเตรียมฐานรองแก้วและการสังเคราะห์ฟิล์มบาง $\text{TiO}_2$

แก้วที่ใช้เป็นฐานรอง (substrate) ในการสังเคราะห์เซลล์แสงอาทิตย์สีย้อมไวแสง คือ transparent conducting oxide glass (FTO หรือ TCO glass) ที่สามารถนำไฟฟ้าได้ดี มีความต้านทานภายในต่ำและแสงสามารถทะลุผ่านได้ เป็นการเคลือบสารที่สามารถทำหน้าที่ electrode ได้ดีให้เป็นฟิล์มบาง (thin film) บนฐานรอง sodalime glass กระบวนการสังเคราะห์ฟิล์มบางมีหลายกระบวนการ เช่น sputtering techniques, spray pyrolysis process, chemical vapor deposition (CVD) เป็นต้น ซึ่งวิธี CVD นี้เป็นการสังเคราะห์อนุภาคนาโน  $\text{TiO}_2$  โดยการทำให้อะตอม

ของไททาเนียมหลุดออกโดยใช้ความร้อนหรือพลาสมา จากนั้นอะตอมของไททาเนียมจะระเหยเป็นไอแล้วทำปฏิกิริยากับออกซิเจน ก่อนที่จะไปกระทบที่แผ่นฐานรอง วิธี CVD นี้มีขั้นตอนการวิเคราะห์ที่สำคัญ 2 ขั้นตอน คือ ขั้นตอนแรกเป็นการทำให้อะตอมของไททาเนียมหลุด และขั้นตอนที่สองเป็นการสังเคราะห์อนุภาคนาโน  $\text{TiO}_2$  โดยทั่วไปเมื่อตกกระทบที่ผิวของแผ่นฐานรองจะทำให้เกิดเป็นฟิล์มบาง ในงานวิจัยนี้จะขอยกตัวอย่างกระบวนการสังเคราะห์ฟิล์มบางพอสังเขป ดังนี้

### 2.5.1 การสังเคราะห์ฟิล์มบางของ In-Sn-O ด้วยวิธี sputtering

การสังเคราะห์ฟิล์มบางของ In-Sn-O ระบบ คือ planar magnetron sputtering เป้าที่ใช้ คือ  $\text{InO}_2 : \text{SnO}$  ด้วยสัดส่วน 90 : 10 บดผสมให้เป็นเนื้อเดียวกันแล้วเผาที่อุณหภูมิ 1000 °C เป็นเวลา 5 ชั่วโมง ตามด้วยการอบร้อน (annealing) ในบรรยากาศของก๊าซอาร์กอนที่อุณหภูมิ 800 °C เป็นเวลา 5 ชั่วโมง จากนั้นอัดเป็นแผ่นขนาดเส้นผ่านศูนย์กลาง 3 นิ้ว หน้า 0.125 นิ้ว ขั้นตอนสุดท้ายนำไปผ่านการอบร้อน ในบรรยากาศของก๊าซอาร์กอนที่อุณหภูมิ 800 °C เป็นเวลา 5 ชั่วโมง เมื่อทำให้เย็นลงจะได้เป้า (target) เพื่อใช้เป็นเป้าสำหรับกระบวนการ sputtering ระบบที่ใช้ในการสังเคราะห์คือ vacuum chamber, Edward 350 เริ่มต้นโดยการทำทำความสะอาดภายใน chamber ใส่เป้าใน sputtering gun ตามด้วยการใส่แก้วฐานรอง ที่ได้ผ่านการทำความสะอาดแล้ว start vacuum system เพื่อสร้างสุญญากาศใน chamber เมื่อความดันถึง  $5.5 \times 10^{-5}$  mbar ปล่องก๊าซอาร์กอนเข้าสู่ระบบเพื่อสร้าง plasma process ปรับก๊าซอาร์กอนเพื่อให้ได้ความดัน  $4.2 \times 10^{-2}$  mbar เปิดระบบ RF-Power ที่ 270 W ปล่องให้มีการสับเตเตอร์เพื่อให้เกิดการเคลือบที่สม่ำเสมอ กด shutter เพื่อทำการเคลือบจับเวลาที่ทำการเคลือบ เสร็จปิดระบบ RF-Power ปิดวาล์วก๊าซอาร์กอนเพื่อไม่ให้ก๊าซอาร์กอนไหลเข้าสู่ระบบ vent ให้อากาศเข้าเพื่อให้ความดันภายใน chamber เท่ากับความดันบรรยากาศภายนอก นำตัวอย่างออกจาก chamber



ภาพที่ 2.3 sputtering system สำหรับการเคลือบฟิล์มบาง In-Sn-O [19]

### 2.5.2 การสังเคราะห์ฟิล์มบางแบบ dip coating

การเตรียมฟิล์มบางโดยใช้เทคนิคการ dip coating ขึ้นอยู่กับปัจจัยหลาย ๆ อย่าง เช่น วัสดุที่เป็นฐานรอง ลักษณะของพื้นผิวฟิล์มในการเคลือบ รูปแบบของฟิล์มที่ต้องการและปัจจัยหลายอย่างอีก เช่น ความหนาของฟิล์มและอุณหภูมิในขณะที่เคลือบ กระบวนการ dip coating นั้นเป็นวิธีการเคลือบที่จุ่มแผ่นฐานรองลงไปอย่างช้า ๆ ในของเหลว แล้วค่อย ๆ ดึงขึ้นอย่างช้า ๆ จากภาชนะที่บรรจุของเหลว อัตราเร็วในการเคลือบขึ้นอยู่กับที่จะกำหนดรูปแบบการเคลือบฟิล์มนั้น ๆ กระบวนการเคลือบเสร็จสิ้นอย่างสมบูรณ์โดยการคอมพิวเตอร์ควบคุมระบบ [36]

## 2.6 การเตรียมอนุภาคนาโนและฟิล์มบางของ $\text{TiO}_2$

### 2.6.1 การเตรียมอนุภาคนาโนของ $\text{TiO}_2$ ด้วยวิธี sol-gel

กระบวนการเตรียมทั้งหมดอยู่ในไนโตรเจน glove box เริ่มต้นด้วยการใช้สารละลาย  $\text{Ti}[\text{OCH}(\text{CH}_3)_2]_4$  เติมลงใน propanal ครั้งละหยด แล้วเติม DI water (deionized water) กวนให้เข้ากันด้วยเครื่องกวนนาน 10 นาที จะเห็นตะกอนสีขาวเกิดขึ้น จากนั้นเติม  $\text{HNO}_3$  ความเข้มข้น 65 % ปริมาตร 1 ml ลงไปแล้วกวนต่ออีกนาน 15 นาที ที่อุณหภูมิ  $80^\circ\text{C}$  โดยใน

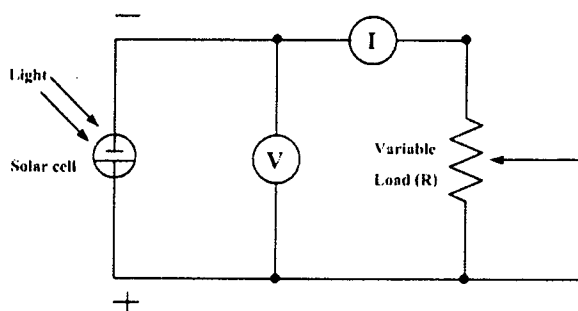
ขั้นตอนนี้น้ำและ propanal จะระเหยออกไปจะได้สารละลายคอลลอยด์ของ  $\text{TiO}_2$  แล้วนำสารละลาย  $\text{TiO}_2$  ไปทำให้เข้มข้นโดยการระเหยของน้ำในระบบสุญญากาศที่อุณหภูมิห้องจนได้ของเหลวหนืดของ  $\text{TiO}_2$  แล้วเติม Carbowax M-20000 ประมาณ 40 % โดยน้ำหนักของ  $\text{TiO}_2$  จะได้ sol-gel ของ  $\text{TiO}_2$  [19]

### 2.6.2 การสังเคราะห์ฟิล์มบางของ $\text{TiO}_2$ ด้วยวิธี screen printing

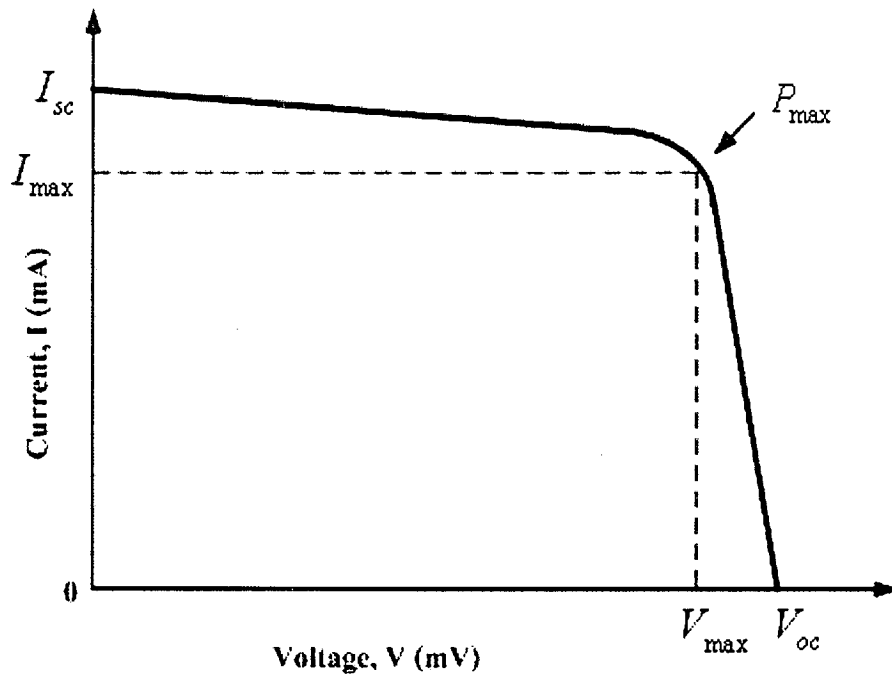
เติมสารละลายกรดไนตริก (pH 3-4 ในน้ำกลั่นปราศจากไอออน) ปริมาณ 9 ml ลงใน  $\text{TiO}_2$  ปริมาณ 6 g บดให้ผสมรวมเป็นเนื้อเดียวกันใช้เวลา 30 นาที แล้วเติมสาร surfactant (such as clear dish detergent or Triton X 100) บดให้ผสมรวมเป็นเนื้อเดียวกันต่อไปอีกใช้เวลา 30 นาที จะได้สารแขวนลอยของ  $\text{TiO}_2$  หลังจากนั้นนำสารแขวนลอยของ  $\text{TiO}_2$  เก็บไว้ในขวดเก็บสารที่ปิดฝาให้แน่นใช้เวลา 15 นาที จึงนำสารแขวนลอยของ  $\text{TiO}_2$  วางบนแก้ว TCO ที่เตรียมไว้แล้วกลิ้ง rod coater ไปมาเพื่อกระจาย  $\text{TiO}_2$  ให้สม่ำเสมอปล่อยให้ฟิล์มแห้งใช้เวลา 45 นาที นำฟิล์มไปบำบัดความร้อนในเตาเผาที่อุณหภูมิ  $450^\circ\text{C}$  ใช้เวลา 30 นาที เมื่อฟิล์มเย็นตัวลงจะได้ฟิล์มบางของ  $\text{TiO}_2$  [19]

## 2.7 การทดสอบเซลล์แสงอาทิตย์สีย้อมไวแสง

การทดสอบและหาประสิทธิภาพของเซลล์แสงอาทิตย์โดยทั่วไปนิยมวัด I-V characteristic หรือ I-V curve เพื่อนำค่าที่วัดได้ไปคำนวณหา ฟิลล์แฟกเตอร์ (fill factor;  $FF$ ) และประสิทธิภาพการผันพลังงาน (energy conversion efficiency,  $\eta$ ) ของเซลล์แสงอาทิตย์ การต่อวงจรเพื่อวัด I-V curve มี 2 แบบ ดังนี้ การต่อวงจรเพื่อวัด I-V curve แบบที่ 1 ดังภาพที่ 2.4 อุปกรณ์ประกอบด้วย เซลล์แสงอาทิตย์ที่จะทำการวัด แอมมิเตอร์ โวลต์มิเตอร์ (Agilent 34401A Digital Multimeter) และตัวต้านทานปรับค่าได้ เมื่อต่อวงจรให้สมบูรณ์สามารถวัดค่ากระแสไฟฟ้า (current, I) และความต่างศักย์ไฟฟ้า (voltage, V) ของเซลล์แสงอาทิตย์ได้ เมื่อนำค่ากระแสไฟฟ้าและความต่างศักย์ไฟฟ้าไปเขียนกราฟจะได้กราฟ I-V curve ดังภาพที่ 2.5

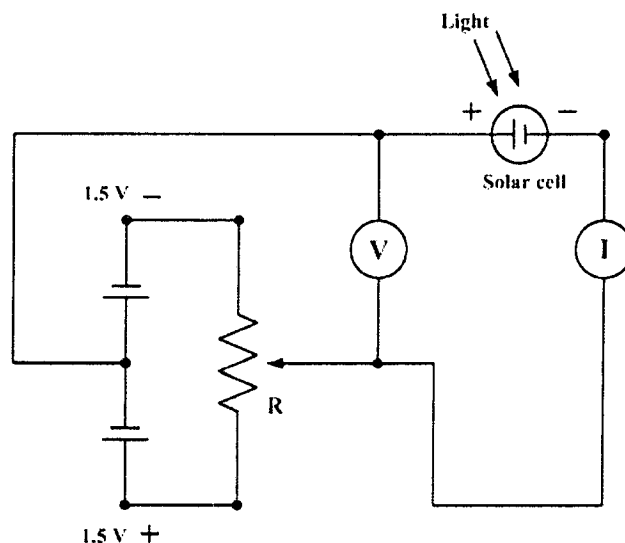


ภาพที่ 2.4 การต่อวงจรเพื่อวัด I-V curve ของเซลล์แสงอาทิตย์ แบบที่ 1 [19]



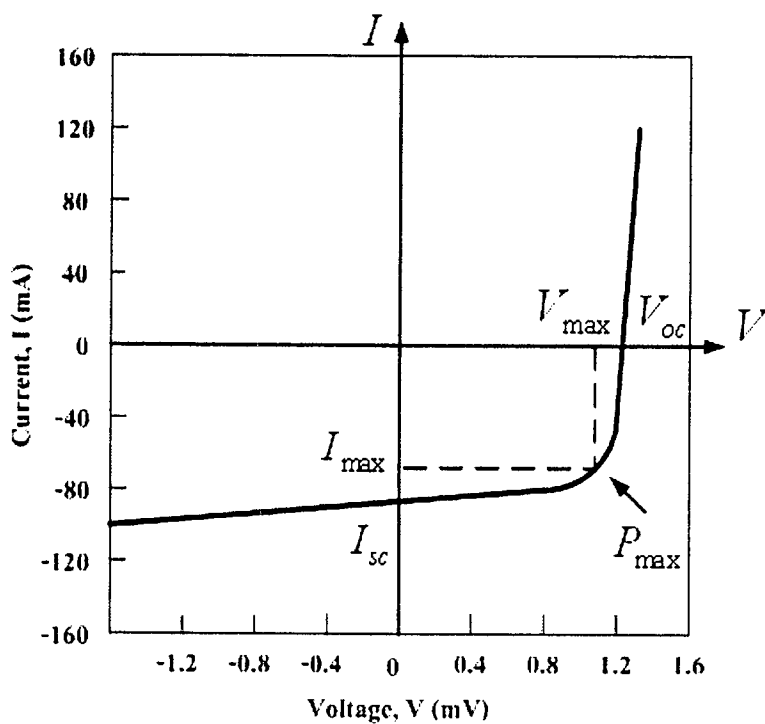
ภาพที่ 2.5 กราฟ I-V curve ของเซลล์แสงอาทิตย์ จากการต่อวงจรแบบที่ 1 [19]

การต่อวงจรเพื่อวัด I-V curve แบบที่ 2 ดังภาพที่ 2.6 เป็นวงจรที่ใช้ bias เซลล์เกินกว่ากำลังที่เซลล์แสงอาทิตย์ผลิตได้ เป็นวงจรที่มีอยู่ในเครื่องมือที่ใช้ทดสอบและหาประสิทธิภาพของเซลล์แสงอาทิตย์ที่ได้มาตรฐาน เช่น เครื่อง IV- test sunsimulator ที่ศูนย์เทคโนโลยีโลหะและวัสดุแห่งชาติ (MTEC) เป็นต้น เมื่อนำค่ากระแสไฟฟ้าและความต่างศักย์ไฟฟ้าที่วัดได้ไปเขียนกราฟจะได้กราฟ I-V curve ดังภาพที่ 2.7



ภาพที่ 2.6 การต่อวงจรเพื่อวัด I-V curve ของเซลล์แสงอาทิตย์ แบบที่ 2 [19]

ประสิทธิภาพของเซลล์แสงอาทิตย์ สามารถแสดงด้วยค่าต่าง ๆ [19] ดังนี้ จากภาพที่ 2.5 และภาพที่ 2.7 จุดที่กราฟตัดแกนแรงดันไฟฟ้า คือ แรงดันไฟฟ้าวงจรถัด (open circuit voltage,  $V_{oc}$ ) เป็นแรงดันไฟฟ้าเมื่อความต้านทานของวงจรถัดและกระแสไฟฟ้ามืดค่าเท่ากับศูนย์ จุดที่กราฟตัดแกนกระแสไฟฟ้า คือ กระแสไฟฟ้ามืดวงจรถัด (short circuit current,  $I_{sc}$ ) เป็นกระแสไฟฟ้า เมื่อความต้านทานของวงจรถัดหรือเท่ากับศูนย์และแรงดันไฟฟ้ามืดค่าเท่ากับศูนย์ ในการใช้งานเซลล์แสงอาทิตย์กำลังไฟฟ้าสูงสุด (maximum power,  $P_{max}$ ) ที่ได้จากเซลล์แสงอาทิตย์สีย้อมไวแสง จะเท่ากับพื้นที่สี่เหลี่ยมผืนผ้าที่ใหญ่ที่สุดในกราฟนี้ แสดงด้วยเส้นไขปลา ดังภาพที่ 2.5 และ 2.7



ภาพที่ 2.7 กราฟ I-V curve ของเซลล์แสงอาทิตย์ จากการต่อวงจรแบบที่ 2 [19]

ถ้าให้  $V_{max}$  (maximum voltage) และ  $I_{max}$  (maximum current) คือ แรงดันไฟฟ้าสูงสุดและกระแสไฟฟ้าสูงสุด ตามลำดับ ที่จะให้กำลังไฟฟ้าสูงสุดเขียนเป็นสมการได้ดังนี้

$$P_{max} = (V \times I)_{max} \quad (2.6)$$

### 2.7.1 ฟิลล์แฟกเตอร์ (fill factor, $FF$ )

เป็นอัตราส่วนของพื้นที่ของ  $V_{\max} \times I_{\max}$  ต่อพื้นที่ของ  $V_{oc} \times I_{sc}$  เขียนเป็นสมการได้ดังนี้

$$FF = \frac{P_{\max}}{V_{oc} \times I_{sc}} = \frac{(V \times I)_{\max}}{V_{oc} \times I_{sc}} \quad (2.7)$$

### 2.7.2 ประสิทธิภาพการผันพลังงาน (energy conversion efficiency, $\eta$ )

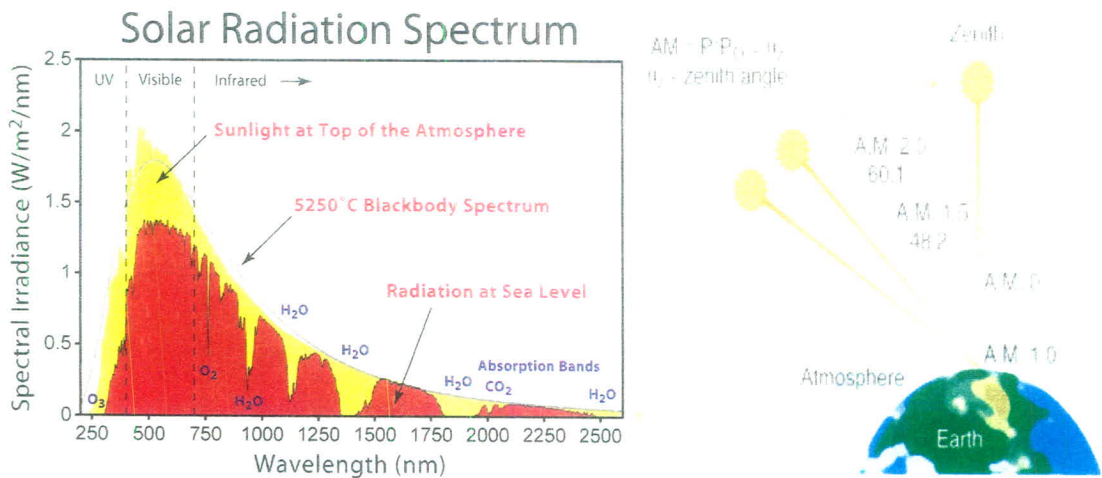
ประสิทธิภาพการผันพลังงานแสง ที่ตกกระทบเซลล์แสงอาทิตย์เป็นพลังงานไฟฟ้า คือ อัตราส่วนของกำลังไฟฟ้าสูงสุดของเซลล์แสงอาทิตย์ต่อกำลังของแสงที่ตกกระทบเซลล์แสงอาทิตย์

$$\eta = \frac{P_{\max}}{P_{light}} \times 100\% = \frac{(V \times I)_{\max}}{P_{light}} \times 100\% = \frac{V_{oc} \times I_{sc} \times FF}{P_{light}} \times 100\% \quad (2.8)$$

เมื่อ  $P_{light}$  คือ กำลังของแสงที่ตกกระทบเซลล์แสงอาทิตย์ มีหน่วย วัตต์ (W)

## 2.8 ประสิทธิภาพเซลล์แสงอาทิตย์สี่เหลี่ยมแสง

เราสามารถอธิบายความเข้มของแสงอาทิตย์ที่ตกกระทบถึงผิวโลก ได้ในรูปของมวลอากาศ (Air Mass,  $AM$ ) โดยค่า  $AM = \frac{1}{\cos \theta_z}$  เมื่อ  $\theta_z$  คือ มุม zenith เช่น เมื่อดวงอาทิตย์อยู่ตรงศีรษะพอดี มีค่า  $\theta_z = 0^\circ$  ดังนั้นมี  $AM$  เท่ากับ 1.0 สำหรับความเข้มแสงอาทิตย์นอกชั้นบรรยากาศกำหนดเป็น  $AM$  0.0 สำหรับการทดสอบประสิทธิภาพเซลล์แสงอาทิตย์จะนิยมศึกษาภายใต้ความเข้มแสงตกกระทบ ที่  $AM$  1.5 ความเข้มแสงเท่ากับ  $100 \text{ mW/cm}^2$  หรือ  $1,000 \text{ W/cm}^2$  สเปกตรัมของแสงอาทิตย์ ที่  $AM$  1.0 และ 1.5 แสดงดังภาพที่ 2.8



ภาพที่ 2.8 สเปกตรัมของแสงอาทิตย์ ณ AM 1.0 และ 1.5 [37]

## 2.9 งานวิจัยที่เกี่ยวข้อง

อิเล็กโทรไลต์โพลีเมอร์เยื่อบางที่ทำด้วยวิธี ultra-thin poly(vinylidene fluoride-co-hexafluoro propylene) P(VDF-HFP) ได้ถูกเตรียมโดยกระบวนการ phase inversion เคลือบอิเล็กโทรดด้วย  $\text{TiO}_2$  หลังจากนั้นนำไปแช่ด้วยสีย้อมไวแสง Ru N-719 เยื่อบางนี้ถูกแช่ในของเหลวอิเล็กโทรไลต์อินทรีย์ ซึ่งนักวิจัย [38] ได้รายงานผลการวิจัย พบว่าอิเล็กโทรไลต์โพลีเมอร์เยื่อบาง ultra-thin P(VDF-HFP) เซลล์แสงอาทิตย์สีย้อมไวแสง (DSSCs) ที่ใช้อิเล็กโทรไลต์เยื่อบางได้ค่า  $V_{oc} = 0.751\text{V}$ ,  $J_{sc} = 16.260\text{ mA/cm}^2$  และ  $FF = 0.684$  ภายใต้แสงตกกระทบ  $1000\text{ W/m}^2$  ประสิทธิภาพการผันพลังงาน ( $\eta$ ) = 8.35 %,  $V_{oc}$ ,  $FF$  และ  $\eta$  ที่ใช้อิเล็กโทรไลต์โพลีเมอร์เยื่อบางเพิ่มขึ้นราว ๆ ประมาณ 5.8 %, 2.2 % และ 5.7 % ตามลำดับ เมื่อเทียบกับสัดส่วนที่ใช้กับอิเล็กโทรไลต์ของเหลว อย่างไรก็ตาม  $J_{sc}$  จะลดลงประมาณ 2.1 % จากรายงานผลการศึกษาวิจัยของ P. J. Li and et al. (2007) [39] โดยใช้ poly(methyl methacrylate-co-methacrylate acid)/poly(ethyleneglycol) [P(MMA-co-MAA)/PEG] ที่ได้ถูกนำมาผสมกันเป็นของเหลวหนืดประกอบด้วยปฏิกิริยาร่วมระหว่างโพลีเมอร์ methyl methacrylate (MMA) และ methacrylate acid (MAA) โดยใช้ azobisisobutyronitrile (AIBN) เป็นสารตั้งต้น ละลาย poly(ethylene glycol) (PEG) ในเมทานอล ของผสมเจลอิเล็กโทรไลต์ได้ถูกเตรียมโดยเติม KI และ  $\text{I}_2$  กับ P(MMA-co-MAA)/PEG พบว่าผลของการทำเจลอิเล็กโทรไลต์นำไปวัดค่าการนำไฟฟ้าของไอออนที่อุณหภูมิต่าง ๆ และอภิปรายผลของการทำเซลล์แสงอาทิตย์สีย้อมไวแสง ซึ่งพิสัยการนำไฟฟ้าได้สูง  $2.70\text{ mS/cm}^2$  ที่  $30\text{ }^\circ\text{C}$  สำหรับของผสมเจลอิเล็กโทรไลต์กึ่งของแข็ง เซลล์แสงอาทิตย์สีย้อมไวแสง (QS-DSSCs) มี

ประสิทธิภาพการผันพลังงาน 4.85 % ภายใต้แสงตกกระทบ AM 1.5 ที่ 60 °C จากการรายงานผลการวิจัย [40] โดยใช้อิเล็กโทรไลต์ของแข็ง ได้แก่ พอลิอะนิลีน, พอลิพีโรล, คอปเปอร์ไทโอไฮยาเนต, คอปเปอร์ไอโอไดต์ และสารผสม PEO โดยทำการศึกษาสี่ 2 ชนิด คือสี่สังเคราะห์จากสารเชิงซ้อนรูเทเนียม และสี่การสกัดดอกกระเจี๊ยบ ซึ่งพบว่าเซลล์ที่ใช้สารผสม PEO เป็นอิเล็กโทรไลต์จะมีประสิทธิภาพดีกว่าเมื่อเทียบกับเซลล์ที่ประกอบด้วยอิเล็กโทรไลต์ของแข็งชนิดอื่น ๆ และเมื่อนำเซลล์ผสม PEO มาศึกษาต่อโดยทำการเปรียบเทียบชนิดของโลหะที่เคลือบบนแคโทดรีดักชันได้แก่ Ag, Cu, C และ Pt ซึ่งทำหน้าที่เป็นตัวเร่งในการเกิดปฏิกิริยารีดอกซ์ด้วย พบว่าเซลล์ Pt เคลือบบนแคโทดรีดักชันจะมีประสิทธิภาพดีที่สุด เมื่อเทียบกับเซลล์ที่ใช้โลหะอื่น ๆ โดยเซลล์ที่ใช้สี่สังเคราะห์จากสารเชิงซ้อน รูเทเนียม และสี่สกัดดอกกระเจี๊ยบมีค่ากระแสสูงสุด 3.65 และ 0.46  $\text{mAcm}^{-2}$  ค่าความต่างศักย์สูงสุด 700 และ 530 mV และค่าประสิทธิภาพการเปลี่ยนพลังงานแสงอาทิตย์เป็นพลังงานไฟฟ้า 0.77 และ 0.19 % ตามลำดับ ที่ 100  $\text{mW/cm}^2$  (AM 1.5)

นอกจากนี้ X. Shen and et al. (2008) [41] ได้เตรียม อิเล็กโทรไลต์ โดยการเติมเกลือโลหะอัลคาไลด์ RI ( $R^+ = \text{Li}^+, \text{Na}^+, \text{K}^+, \text{Rb}^+$  หรือ  $\text{Cs}^+$ ) และละลาย  $\text{I}_2$  ด้วย acetonitrile ลงใน poly (ethylene-oxide) (PEO). KI, RbI และ CsI ละลายไม่ดีในสารละลายอิเล็กโทรไลต์ แต่มันสามารถละลายได้หมดจดอย่างสมบูรณ์ใน PEO เจลอิเล็กโทรไลต์ เนื่องจากอัตรากิริยาที่แข็งแกร่งของแคทไอออนกับสายโซ่ PEO เจลอิเล็กโทรไลต์ทุกชนิดแสดงสภาพการนำไฟฟ้าได้สูงในพิสัย  $10^{-3}$  S/cm และมี ส่วนประกอบ  $\text{I}^-$  ที่ความเข้มข้น 0.3 M ผลของ  $R^+$  ใน PEO เจลอิเล็กโทรไลต์ นำมาศึกษาเซลล์แสงอาทิตย์สีย้อมไวแสง (DSSCs) อิเล็กโทรไลต์กึ่งของแข็ง ผลแสดงให้เห็นว่า  $V_{oc}$  เพิ่มขึ้น เนื่องจากการเพิ่มรัศมีแคทไอออนของโลหะอัลคาไลด์ กรณีของ  $\text{TiO}_2$  นี้้อธิบายด้วย electron fermi level ( $E_f$ ) โดยลดการแพร่ของ  $\text{I}_3^-$  และเพิ่มรัศมีของ  $R^+$  และนอกจากนี้อิเล็กโทรไลต์โพลิเมอร์ [42] ได้ศึกษาถูกเตรียมโดย poly (acrylo nitrile -co-styrene)/NaI+ $\text{I}_2$  และส่วนผสมตัวทำละลายทั้งสองเมื่อระบบประกอบด้วยโซเดียมไอโอไดน์ 0.5 M ไอโอไดน 0.05 M และ 4-tert-butylpyridine 0.5 M สภาพนำไฟฟ้ามีค่าสูงสุด (ที่ 30 °C) 2.37  $\text{mS/cm}$  เซลล์แสงอาทิตย์สีย้อม ไวแสงอิเล็กโทรไลต์กึ่งของแข็งถูกสร้างขึ้นและมีประสิทธิภาพในการผันพลังงานแสงเป็นพลังงานไฟฟ้าได้ 2.75 % ภายใต้แสงตกกระทบ 60  $\text{mW/cm}^2$  อิเล็กโทรไลต์โพลิเมอร์ ที่ถูกได้เตรียมโดยการใช้ poly (acrylonitrile-co-styrene) เป็นโพลิเมอร์ [41] มี 1,2-propanediol carbonate, dimethyl carbonate และ ethylene carbonate เป็นตัวทำละลาย และ N-methyl-quinoline iodide และ iodine เป็นแหล่งที่ให้  $\text{I}^-/\text{I}_3^-$  มีสภาพนำไฟฟ้า  $5.12 \times 10^{-3}$  S/m (ที่ 25 °C) เซลล์แสงอาทิตย์สีย้อมไวแสงบนพื้นฐาน อิเล็กโทรไลต์ถูกสร้างขึ้นมีเสถียรภาพ และมีประสิทธิภาพในการผันพลังงานแสงเป็นพลังงานไฟฟ้า 4.04 % ภายใต้แสงตกกระทบ 100  $\text{mW/cm}^2$

M. Grätzel and et al. (2003) [42] ได้พัฒนา quasi solid – state electrolyte โดยใช้ polymer gel เป็น electrolyte ในการประดิษฐ์เซลล์แสงอาทิตย์สีย้อมไวแสง กลุ่มนี้ใช้ fluorine polymer, poly (vinylidene fluoride – co – hexafluoropropylene, (PVDF – HFP) เพื่อให้ liquid electrolytes 3 – methoxypropionitrile (MPN) กลายเป็น quasi solid – state gel electrolyte พบว่า เซลล์แสงอาทิตย์สีย้อมไวแสงมีประสิทธิภาพมากกว่า 6 % นอกจากนี้เซลล์ยังมีเสถียรภาพภายใต้ความร้อนสูง กล่าวคือ เมื่อเซลล์ถูกทำให้ร้อนที่ 80 °C เป็นเวลา 1,000 ชั่วโมง เซลล์รักษาประสิทธิภาพได้ 94 % ของประสิทธิภาพเริ่มต้น และเสถียรภาพที่อุณหภูมิ 55 °C เป็นเวลา 1,000 ชั่วโมง ที่ solar simulator 100 mW/cm<sup>2</sup> นอกจากนั้น gelator ซึ่งเป็นส่วนผสมของ 1 – methyl – 3 – propylimidazolium, I<sub>2</sub>, and 1,2,4,5 – tetrakisbromomethylbenzene. [43] เพื่อให้ electrolyte มีสภาพเป็น polymerization พบว่า ได้ประสิทธิภาพ 73 % เมื่อเทียบกับ liquid electrolyte ที่มีประสิทธิภาพ 7.8 % สรุปว่าการทำให้ liquid electrolyte กลายเป็น quasi solid – state electrolyte ด้วยวิธีนี้ (วิธี gelation) ไม่ทำให้เกิดการ suppress ต่อการ diffusion ของ I<sup>-</sup> และ I<sub>3</sub><sup>-</sup> ไอออนใน electrolyte

F.S. Chang and et al. (2007) [44] รายงานผลการเตรียมเจลที่เคลือบไททาเนียมไดออกไซด์ โดยเตรียมจาก Ti[OCH(CH<sub>3</sub>)<sub>2</sub>]<sub>4</sub> สารละลายกรดไนตริก 0.1 M. คนให้เข้ากันที่อุณหภูมิ 80 °C เป็นเวลา 10 ชั่วโมง จากนั้นเติมโพลีเอทิลีนไกลคอล (PEG, มวลโมเลกุล 20,000) จากนั้นนำไปเคลือบโดยวิธี dip-coating หรือ spin-coating บนแผ่นแก้วตัวนำ จาก F : SnO<sub>2</sub> ฟลูออรีน หรือ ดีบุก ออกไซด์ นำไปเผาที่อุณหภูมิ 450 °C เป็นเวลา 30 นาที นำไปย้อมสีในสารละลาย เอทานอล รูเทเนียม (cis – bis (isothiocyanato)) bis (2,2-bipyridyl – 4,4 – dicarboxylato) – Ru สำหรับการเตรียมโพลิเมอร์จะใช้เอทิลีนคาร์บอนเนต (EC) โพรพิลีนคาร์บอนเนต (PC) บิวทิลโรแลคโตน (BL) และเติมไอโอดีน (I<sub>2</sub>) ที่อุณหภูมิห้องเพื่อป้องกันสารละลายระเหย พบว่าความแตกต่างของการนำไฟฟ้าที่มีพลาสติกเป็นส่วนประกอบ คือ (EC+PC) (BL+EC) และ (BL+PC) จะได้ 4.79 % 4.96 % และ 4.41 % ตามลำดับ

ดังนั้นการพัฒนา solid – state electrolyte ในเซลล์แสงอาทิตย์สีย้อมไวแสง จึงมีความสำคัญต่อเสถียรภาพและประสิทธิภาพระยะยาวของเซลล์แสงอาทิตย์สีย้อมไวแสง อย่างไรก็ตาม อาจมีความลำบากที่จะต้องทำให้เกิด solid – state interface ที่ดีที่จะได้ high solar cell performance

จรัชญา บุญเสริม, สุธัญญา วงศ์ภาค (2556) [45] ได้ศึกษาเกี่ยวกับการสังเคราะห์ท่อนาโนไทเทเนียม ไดออกไซด์โดยใช้กระบวนการเคลือบแอโนด เพื่อหาสภาวะที่มีผลกระทบต่อโครงสร้างของไทเทเนียมไดออกไซด์ โดยเปรียบเทียบรูปแบบการจัดเรียงเซลล์แบบแคโทดขานกับแอโนดและแบบแคโทดโค้งงอรอบแอโนด ซึ่งใช้สารละลายอิเล็กโทรไลต์เอทีลีนไกลคอล ที่ประกอบด้วยแอมโมเนียมฟลูออไรด์ 0.38 % โดยน้ำหนัก และน้ำ 1.79 % โดยน้ำหนัก สังเคราะห์ภายใต้ศักย์ไฟฟ้า 40, 50 และ 60 โวลต์ เป็นเวลา 3 ชั่วโมง ชิ้นงานที่ได้จะถูกนำไปเผาที่ อุณหภูมิ 600 องศาเซลเซียส เป็นเวลา 3 ชั่วโมง ด้วยอัตราการให้ความร้อน 5 องศาเซลเซียสต่อนาที เพื่อเปลี่ยนโครงสร้างผลึกของไททาเนียมไดออกไซด์ การสังเคราะห์ ไททาเนียมไดออกไซด์ด้วยการจัดเรียงเซลล์แบบแคโทดขานกับแอโนดจะให้ฟิล์มที่ลอกหลุดออก แต่การสังเคราะห์โดยจัดเรียงเซลล์แบบแคโทดโค้งงอรอบแอโนดที่ ศักย์ไฟฟ้า 40 โวลต์ จะให้ฟิล์มที่ยึดติดกับแผ่นไททาเนียม จากการวัดประสิทธิภาพเซลล์ย้อมสีไวแสงที่มีพื้นที่  $0.5 \times 0.5$  ตารางเซนติเมตร ภายใต้แสง (AM 1.5,  $P_{in}$  100  $mW/cm^2$ ) เมื่อนำไปวัดประสิทธิภาพการเปลี่ยนเป็น พลังงานไฟฟ้า พบว่าชิ้นงานที่สังเคราะห์ได้และผ่านการเผามีประสิทธิภาพสูงถึง 1.1198 % ซึ่งมีความหนาแน่นของ กระแส 2.871 มิลลิแอมแปร์ต่อตารางเซนติเมตร ค่าแรงดันวงจรเปิด 0.794 โวลต์ และค่าฟิลแฟคเตอร์ 0.526 โดย ประสิทธิภาพที่ได้นี้มีค่าสูงเป็นเจ็ดเท่าของ P25 (ไททาเนียมไดออกไซด์ที่มีตามท้องตลาด)

จำนงค์ บุญลอย, สุธิชัย ชัยสิทธิ์ศักดิ์ (2554) [46] ฟิล์มอนุภาคนาโนไททาเนียมไดออกไซด์ ถูกปลูกบน กระจกนำไฟฟ้า โดยใช้เทคนิคการสกรีนเพื่อใช้เป็นขั้วไฟฟ้าทำงานในเซลล์แสงอาทิตย์ชนิดสีย้อมไวแสง (DSSC) ความหนาของฟิล์มไททาเนียมไดออกไซด์ไซด์มีผลต่อประสิทธิภาพของเซลล์แสงอาทิตย์ชนิดสีย้อมไวแสง เมื่อผ่านการทดสอบภายใต้แสงอาทิตย์ AM 1.5 พบว่าประสิทธิภาพเพิ่มสูงขึ้นเมื่อความหนาของฟิล์มเพิ่มมากขึ้น เนื่องมาจากการเพิ่มขึ้นของกระแสลัดวงจร ( $J_{sc}$ ) ความหนาของฟิล์มดีที่สุดคือ (15.72  $\mu m$ ) ประสิทธิภาพของเซลล์แสงอาทิตย์ชนิดสีย้อมไวแสงที่ได้คือ 3.28 % ( $J_{sc}=7.31 \text{ mA/cm}^2$ ,  $V_{oc}= 0.73 \text{ V}$ ,  $FF = 0.61$ )

ชวิศร์ กรณ์ย์เมธากุล. (2554) [47] ไททาเนียมไดออกไซด์โพโตคะตะลิสต์ในรูปแบบผลึกอนาเทสสามารถสลายสารมลพิษในน้ำและอากาศโดยใช้แสงได้แต่มีประสิทธิภาพในการเร่งปฏิกิริยาด้วยแสงในช่วงของแสงยูวีจึงสามารถนำมาปรับช่วงของการดูดกลืนแสงให้อยู่ในช่วงวิสิเบิล ซึ่งเป็นองค์ประกอบหลักของแสงอาทิตย์ได้โดย การปรับแต่งพื้นผิวของไททาเนียมไดออกไซด์ด้วยวิธี doping ด้วยอะตอมของธาตุซิลเฟอร์จากไทโอยูเรีย โดยใช้อัตราส่วนโดยโมลระหว่างไททาเนียมไอโซโพรพอรอกไซด์กับไทโอยูเรียเป็น 1 : 4 และเผาภายใต้บรรยากาศปกติ ที่อุณหภูมิ 400, 500 และ 600 องศาเซลเซียส จากนั้นนำ มาพัฒนาประสิทธิภาพของไทเทเนียมไดออกไซด์คะตะลิสต์โดยใช้การดูดซับด้วยไอออนของโลหะทรานซิชัน ได้แก่  $Fe^{3+}$ ,  $Cr^{3+}$  และ  $V^{3+}$  หลังจากนั้นนำผลิตภัณฑ์ที่เตรียมได้มา

วิเคราะห์ด้วยเทคนิค Brunauer - Emmett-Teller (BET), X-ray Powder Diffraction (XRD) และ UV-Visible Spectroscopy (UV-Vis) พบว่า อะตอมของธาตุซิลเฟอร์สามารถเลื่อนแถบการดูดกลืนแสงของไททาเนียมไดออกไซด์ให้เข้ามาอยู่ในช่วงวิสิเบิลได้ดีขึ้น นอกจากนี้ยังพบอีกว่าอุณหภูมิที่ใช้ในการเผาที่สูงขึ้นทำให้การดูดกลืนแสงในช่วงวิสิเบิลมีประสิทธิภาพมากขึ้น

ชลดา อีรการณวงศ์ (2555) [48] วัสดุนาโนไททาเนียมไดออกไซด์ได้รับความสนใจอย่างแพร่หลาย เนื่องจากมีประสิทธิภาพสูงและสามารถนำไปใช้งานด้านต่าง ๆ เช่น เซลล์แสงอาทิตย์ ลิเทียมไอออน แบตเตอรี่ ตัวเร่งปฏิกิริยาดูดซับแสงและเซลล์เชื้อเพลิง ไททาเนียมไดออกไซด์สามารถขึ้นรูปเกิดเป็นวัสดุ นาโนที่มีโครงสร้างแบบต่างๆ เช่น อนุภาคนาโน ท่อนาโน เส้นใยนาโน แผ่นนาโน นาโนริบบอน และลวดนาโน ซึ่งขนาดอนุภาคและโครงสร้างของวัสดุนาโนไททาเนียมไดออกไซด์ขึ้นอยู่กับวิธีและสภาวะที่ใช้ในการสังเคราะห์ นอกจากนี้ การเจือวัสดุนาโนไททาเนียมไดออกไซด์ด้วยไอออนของโลหะ ออกไซด์ของโลหะ และธาตุกลุ่มอัลคาไลน์เป็นตัวแปรสำคัญที่จะทำให้ประสิทธิภาพในการเป็นตัวเร่งปฏิกิริยาสูงขึ้น บทความนี้มีจุดมุ่งหมายเพื่อทบทวนเอกสารเรื่องวิธีการสังเคราะห์ ไททาเนียมไดออกไซด์และโครงสร้างที่ได้จากวิธีการสังเคราะห์นั้น พร้อมทั้งการประยุกต์ใช้งานไททาเนียมไดออกไซด์ ในด้านต่างๆ โดยเฉพาะอย่างยิ่งเมื่อใช้เป็นตัวเร่งปฏิกิริยาดูดซับแสงเพื่อย่อยสลายสารมลพิษอินทรีย์

ธีรวัฒน์ พลายแสง , ธานีวัฒน์ ผาจิระวัฒนชาติ (2555) [49] เทคนิคการเคลือบแอนโนด 3 ชั้นตอน โดยมีสารเอทิลีนไกลคอล กรดแอมโมเนียมฟลูออไรด์ (0.38 wt%) และน้ำ (1.79 wt%) ภาวะที่เกิดรูพรุนในระดับนาโน อย่างเป็นระเบียบก็คือ ที่ค่าศักย์ไฟฟ้า 50 โวลต์ ซึ่งพบว่าเวลาและศักย์ไฟฟ้าส่งผลต่อขนาดของรูพรุน

พึงบุญ ปานศิลา, ทองใส จ่านางการ, ปรียาวัลย์ คูหา, รุ่งอรุณโรจน์ สุจิตจูล (2555) [50] ฟิ์มบาง ไททาเนียมไดออกไซด์เตรียมด้วยระบบ ดีซี รีแอกตีฟ สปีดเตอริงบนกระจกสไลด์และซิลิกอนในขั้นตอนเดียว โดยไม่ให้ความร้อนกับวัสดุรองรับขณะเตรียม ภายใต้บรรยากาศของแก๊สผสมอาร์กอนกับออกซิเจน เพื่อศึกษาผลของตำแหน่งวางวัสดุรองรับที่ต่างกันต่อลักษณะเฉพาะของฟิ์ม โดยควบคุมปริมาณแก๊สออกซิเจนในระบบสปีดเตอริงให้คงที่เท่ากับ 40% ของปริมาณแก๊สทั้งหมด วิเคราะห์โครงสร้างผลึกด้วยเทคนิค XRD ส่วนลักษณะสัณฐานและ ความหนาศึกษาด้วยเทคนิค AFM สำหรับสมบัติทางแสงของฟิ์มศึกษาจากเครื่องสเปกโตรโฟโตมิเตอร์ ผลการศึกษาพบว่าตำแหน่งวางวัสดุรองรับมีผลอย่างยิ่งต่อลักษณะเฉพาะของฟิ์มบางไททาเนียมไดออกไซด์ที่เตรียม ได้ ฟิ์มที่เตรียมได้มีโครงสร้างผลึกแบบอนาเทส (101) / รูไทล์ (110) และอนาเทส (101) ระนาบผลึกเดียว นอกจากนี้ยังพบว่าขนาดเกรนความหนาและความหยาบผิวของฟิ์มลดลง เมื่อวางวัสดุรองรับที่ตำแหน่งในแนวรัศมี ( $d_x$ ) เพิ่มขึ้นสำหรับสมบัติทางแสงพบว่า ฟิ์มที่เคลือบได้มีความใสสามารถส่งผ่านแสงในย่านความยาวคลื่นที่ตามองเห็นได้ดี

วัชรินทร์ เมฆา. (2550) [51] ได้สังเคราะห์ไททาเนียมไดออกไซด์ที่มีโครงสร้างผลึกในระดับนาโนด้วยวิธีโซล-เจล พร้อมกับทำฟิล์มบางนาโนไททาเนียมไดออกไซด์โดยเคลือบลงบนฐานรองแก้วด้วยเทคนิค dip-coating พบว่านาโนไททาเนียมไดออกไซด์ที่ได้เป็นเฟสอานาเทสเป็นส่วนใหญ่

สุรศักดิ์ แสนทวีสุข. (2553) [52] เตรียมอิเล็กโทรไลต์โพลิเมอร์ โดยเติมเกลือไดโอไดด์ XI (X = potassium, lithium หรือ tetrapropylammonium (TPA)) และ  $I_2$  ลงใน  $\gamma$ -butyrolactone แล้วนำมาผสม 1-methyl-3-propylimidazoliumiodide และ 1, 2, 4, 5-tetrakisbromomethylbenzene จนเป็นเจล อัตราส่วนของ XI :  $I_2$  เป็น 10 : 1 KI และ TPA ละลายได้ไม่ดีในของเหลวอิเล็กโทรไลต์ แต่สามารถละลายได้ดีใน ของเหลวอิเล็กโทรไลต์โพลิเมอร์ ค่านำสภาพไฟฟ้าสูงสุดของ KI อิเล็กโทรไลต์โพลิเมอร์ที่อุณหภูมิ 30 °C เท่ากับ 2.37 mS/cm ในการประดิษฐ์เซลล์แสงอาทิตย์สีไวโอมแสงด้วยอิเล็กโทรไลต์โพลิเมอร์พบว่าประสิทธิภาพการผัน พลังงานแสงอาทิตย์เป็นพลังงานไฟฟ้าด้วยอิเล็กโทรไลต์โพลิเมอร์ที่เติม LiI KI และ TPA ภายใต้แสงตกกระทบ 100 mW/cm<sup>2</sup> คือ 1.90 % 2.16 % และ 2.05 % ตามลำดับ การทำงานของเซลล์แสงอาทิตย์สีไวโอมไวแสงด้วยอิเล็กโทรไลต์โพลิเมอร์มีเสถียรภาพดีกว่าเซลล์แสงอาทิตย์สีไวโอมไวแสงด้วยอิเล็กโทรไลต์ของเหลว

รัฐพงษ์ นาคาไชย และคณะ (2554) [53] ศึกษากระบวนการสร้างเซลล์แสงอาทิตย์ชนิดสีไวโอมไวแสง โดยเซลล์แสงอาทิตย์ชนิดนี้ มีองค์ประกอบที่ทำหน้าที่ต่างกันเป็นชั้นๆ จึงสามารถเปลี่ยนแสงเป็นไฟฟ้าได้ ซึ่งประกอบด้วยกระจกใสสองแผ่นที่นำไฟฟ้าได้ โดยกระจกแผ่นแรกจะนำมาเคลือบด้วยไททาเนียมไดออกไซด์ และแผ่นที่สองจะเคลือบด้วยแพลททินัม ซึ่งทั้งสองแผ่นจะถูกเคลือบลงบนกระจกด้านที่นำไฟฟ้า จากนั้นนำด้าน ที่ถูกเคลือบมาประกบกันโดยให้ด้านที่เคลือบไททาเนียมไดออกไซด์เป็นด้านที่สัมผัสแสง ในการทดลองครั้งนี้ใช้สารละลายอิเล็กโทรไลต์ คือ ไอโอดีน และได้ศึกษาการนำสารเคมีตระกูลไอโอดีนมาเป็นสีไวโอมไวแสง